МЕТААНАЛИЗ META-ANALYSIS

https://doi.org/10.33878/2073-7556-2024-23-2-143-150





Эффективность хромоскопии с красителем и виртуальной хромоскопии в эндоскопической диагностике колит-ассоциированной дисплазии (систематический обзор и метаанализ)

Архипова О.В.¹, Ликутов А.А.^{1,2}, Пономаренко А.А.¹, Выкова Б.А.¹

 1 ФГБУ «НМИЦ колопроктологии имени А.Н. Рыжих» Минздрава России (ул. Саляма Адиля, д. 2, г. Москва, 123423, Россия)

²ФГБОУ ДПО РМАНПО Минздрава России (ул. Баррикадная, д. 2/1, г. Москва, 125993, Россия)

РЕЗЮМЕ ЦЕЛЬ: сравнить диагностическую информативность хромоскопии с применением красителя и виртуальной хромоскопии в выявлении колит-ассоциированной дисплазии.

МАТЕРИАЛЫ И МЕТОДЫ: выполнен систематический обзор и метаанализ исследований, сравнивающих результаты применения хромоскопии с красителем и виртуальной хромоскопии для диагностики колитассоциированной дисплазии. Были оценены следующие показатели: частота встречаемости пациентов с эндоскопически выявленной колит-ассоциированной дисплазией и частота встречаемости колит-ассоциированной дисплазии среди общего количества выявленных изменений слизистой оболочки толстой кишки. Статистическая обработка данных при сравнении исследований, включенных в метаанализ, проводилась в программе Review Manager 5.3.

РЕЗУЛЬТАТЫ: в систематический обзор литературы включено 4 исследования, суммарно анализирующих 364 пациента. В исследуемых группах не было установлено статистически значимых различий в частоте встречаемости пациентов с эндоскопически выявленной колит-ассоциированной дисплазией, а также в частоте встречаемости колит-ассоциированной дисплазии среди всех обнаруженных изменений слизистой оболочки толстой кишки (ОШ = 0,87; 95% ДИ 0,60-1,27; p = 0,47 и ОШ = 0,82; 95% ДИ 0,58-1,18; p = 0.29).

ЗАКЛЮЧЕНИЕ: результаты проведенного метаанализа показывают, что виртуальная хромоскопия не уступает хромоскопии с применением красителя в выявлении колит-ассоциированной дисплазии. Однако в литературе отсутствуют данные, позволяющие провести оценку диагностической информативности этих двух эндоскопических методик, а также в полной мере оценить возможности виртуальной хромоскопии в диагностике колит-ассоциированной дисплазии. В связи с этим, очевидна необходимость в проведении дальнейших исследований для установления возможностей виртуальной хромоскопии.

КЛЮЧЕВЫЕ СЛОВА: язвенный колит, хромоэндоскопия, колит-ассоциированная дисплазия, виртуальная хромоскопия

КОНФЛИКТ ИНТЕРЕСОВ: авторы заявляют об отсутствии конфликта интересов

ДЛЯ ЦИТИРОВАНИЯ: Архипова О.В., Ликутов А.А., Пономаренко А.А., Выкова Б.А. Эффективность хромоскопии с красителем и виртуальной хромоскопии в эндоскопической диагностике колит-ассоциированной дисплазии (систематический обзор и метаанализ). Колопроктология. 2024; т. 23, № 2, с. 143-150. https://doi.org/10.33878/2073-7556-2024-23-2-143-150

Chromoendoscopy and virtual chromoendoscopy for dysplasia screening in patients with ulcerative colitis (systematic review and meta-analysis)

Olga V. Arkhipova¹, Alexey A. Likutov^{1,2}, Alexey A. Ponomarenko¹, Bella A. Vykova¹

¹Ryzhikh National Medical Research Center of Coloproctology (Salyama Adilya st., 2, Moscow, 123423, Russia) ²Russian Medical Academy of Continuous Professional Education (Barrikadnaya st., 2/1-1, Moscow, 125993, Russia)

ABSTRACT AIM: to compare the diagnostic informativeness of mucosal dye spraying (chromoendoscopy) (CE) and virtual chromoendoscopy (VCE) in detecting dysplasia in patients with a long history ulcerative colitis (UC). MATERIALS AND METHODS: a systematic review and meta-analysis of studies comparing the results of the use of CE

and VCE for the diagnosis of colitis-associated dysplasia was performed. The following indicators were evaluated: the frequency of patients with endoscopically detected colitis-associated dysplasia and the frequency of endoscopic diagnosis of colitis-associated dysplasia among the total number of identified lesions. The statistical analysis was carried out using the Review Manager software 5.3

RESULTS: the systematic review included 4 studies, analyzing 364 patients in total. In the study groups, there were no statistical differences in patients with endoscopically detected colitis-associated dysplasia and in endoscopic diagnosis of colitis-associated dysplasia among total number of detected colorectal neoplasms (OR = 0.87; 95% CI 0.60-1.27; p = 0.47 and OR = 0.82; 95% CI 0.58-1.18; p = 0.29).

CONCLUSION: meta-analysis could not demonstrate a significant difference between CE and VCE. However, additional studies are needed to recognize the role of VCE in the differentiation of neoplastic and non-neoplastic lesions in patients with UC.

KEYWORDS: ulcerative colitis, chromoendoscopy, dysplasia, virtual chromoscopy

CONFLICT OF INTEREST: the authors declare that there is no conflict of interest

FOR CITATION: Arkhipova O.V., Likutov A.A., Ponomarenko A.A., Vykova B.A. Chromoendoscopy and virtual chromoendoscopy for dysplasia screening in patients with ulcerative colitis (systematic review and meta-analysis). Koloproktologia. 2024;23(2):143–150. (in Russ.). https://doi.org/10.33878/2073-7556-2024-23-2-143-150

АДРЕС ДЛЯ ПЕРЕПИСКИ: Архипова Ольга Владиславовна, ФГБУ «НМИЦ колопроктологии имени А.Н. Рыжих» Минздрава России, ул. Саляма Адиля, д. 2, Москва, 123423, Россия; e-mail:olqa2110.arhipova@yandex.ru

ADDRESS FOR CORRESPONDENCE: Olga V. Arkhipova, Ryzhikh National Medical Research Center of Coloproctology, Salyama Adilya st., 2, Moscow, 123423, Russia; e-mail: olga2110.arhipova@yandex.ru

Дата поступления — 08.12.2023 Received — 08.12.2023 После доработки — 15.03.2024 Revised — 15.03.2024 Принято к публикации — 24.04.2024 Accepted for publication — 24.04.2024

ВВЕДЕНИЕ

Заболеваемость язвенным колитом (ЯК) в мире составляет от 21 до 268 случаев на 100 тыс. населения. В России за последние 40 лет заболеваемость увеличилась приблизительно в 6 раз и составляет 19,3—29,8 случая на 100 тыс. населения [1,2].

Риск развития колоректального рака (КРР) у пациентов с ЯК в 2,4 раза выше, чем в общей популяции [3,4]. Колит-ассоциированный рак, связанный с непрерывным хроническим воспалением, развивается в последовательности «воспаление — дисплазия — рак» [5,6]. Российские, американские и европейские клинические рекомендации предлагают начинать эндоскопическое наблюдение пациентов с ЯК для выявления колит-ассоциированной дисплазии после 7–10 лет от начала заболевания [7–10].

До 2019 года основной эндоскопической методикой для выявления колит-ассоциированной дисплазии являлась хромоскопия с применением красителя (чувствительность — 83% и специфичность — 91%) в сочетании с прицельной биопсией [11,12]. Основными недостатками данной эндоскопической методики являются: длительное время проведения исследования и трудности в равномерном окрашивании слизистой оболочки толстой кишки. В связи с чем, эндоскопическая оценка неокрашенных участков слизистой оболочки толстой кишки может быть затруднительна [13,14]. Однако достоверные данные, подтверждающие этот факт, в мировой литературе отсутствуют.

Появление виртуальной хромоскопии с применением узкого спектра света позволило значительно сократить время исследования пациентов с ЯК при одинаковой частоте эндоскопической выявляемости колит-ассоциированной дисплазии (ОШ 1,02 (95% ДИ (0,44–2,35), p = 0,96) в сравнении с хромоскопией в сочетании с красителем [15–19].

В настоящий момент накоплен определенный опыт применения виртуальной хромоскопии в сравнении с хромоскопией в сочетании с красителем для диагностики колит-ассоциированной дисплазии. В связи с чем существует необходимость в обобщении данных с целью сравнения диагностической информативности этих двух эндоскопических методик.

ЦЕЛЬ

Цель данного метаанализа — сравнение диагностической информативности хромоскопии с применением красителя и виртуальной хромоскопии в выявлении колит-ассоциированной дисплазии.

МАТЕРИАЛЫ И МЕТОДЫ

Терминология

Термины «колит-ассоциированная дисплазия» и «дисплазия эпителия толстой кишки» являются синонимами и соответствуют неопластическим

изменениям эпителия, ограниченным базальной мембраной и возникающим на фоне хронического воспаления [5,20]. Для исключения путаницы в терминологии в настоящем метаанализе нами использовался единственный термин «колит-ассоциированная дисплазия».

Согласно последнему пересмотру классификации опухолей Всемирной организацией здравоохранения [20], термин «неоплазия» является обобщенным понятием для всех новообразований толстой кишки, в том числе данный термин допустимо использовать и в отношении колит-ассоциированной дисплазии. В 4 исследованиях, которые включены в данный метаанализ под «неоплазиями или внутриэпителиальными неоплазиями» у пациентов с ЯК авторы подразумевали: колит-ассоциированную дисплазию (в том числе, изменения эпителия толстой кишки, неопределенные по дисплазии), спорадические аденомы, карциномы, а также зубчатые образования [18,19,21,22]. В нашей работе проводился анализ только результатов эндоскопической диагностики колит-ассоциированной дисплазии, так как именно данные изменения эпителия толстой кишки представляют интерес в качестве предикторов развития колит-ассоциированного рака.

Систематический обзор и метаанализ выполнены в соответствии с международными рекомендациями The preferred reporting items for systematic reviews and meta-analyses check list (PRISMA) [23]. Поиск публикаций проводился в электронной базе медицинской литературы Medline и завершился 17 октября 2021 года. Поиск проводился по ключевым словам: chromoendoscopy, virtual chromoendoscopy, ulcerative colitis, dysplasia, dysplasia detection. Ограничения по дате издания статей и языковые ограничения не применялись.

Критериями отбора публикаций для включения в обзор являются полнотекстовые статьи, в которых приводятся данные рандомизированных и нерандомизированных клинических исследований, посвященных сравнению виртуальной хромоскопии и хромоскопии с применением красителей.

Дополнительно проведен поиск публикаций по спискам литературы в отобранных исследованиях на предмет выявления ненайденных источников при первоначальном поиске.

Изучаемые показатели:

- 1. Частота встречаемости пациентов с эндоскопически выявленной колит-ассоциированной дисплазией.
- 2. Частота встречаемости колит-ассоциированной дисплазии среди общего количества выявленных изменений слизистой оболочки толстой кишки.
- 3. Диагностическая информативность двух эндоскопических методик.

Статистическую обработку данных при сравнении вышеуказанных показателей проводили в программе Review Manager 5.3. Для всех дихотомических данных вычисляли отношение шансов (ОШ) с 95% ДИ.

Статистическую гетерогенность среди исследований оценивали с помощью χ^2 -теста, при p < 0.1 и I2 > 50% гетерогенность считали статистически значимой.

Результаты поиска

Всего найдено 929 статей, нами было отобрано 4 публикации (Рис. 1). Все 4 исследования были проспективными (3 рандомизированных, 1 перекрестное), опубликованы в период с 2011 по 2020 гг. Во всех исследованиях проводился сравнительный анализ результатов виртуальной хромоскопии и хромоскопии с применением красителя в выявлении колит-ассоциированной дисплазии у пациентов с длительным анамнезом ЯК.

Суммарно в анализируемых работах включены результаты обследования 364 пациентов, из них у 193 пациентов была проведена хромоскопия с красителем и у 127 пациентов — виртуальная хромоскопия. В одной работе 44 пациентам проводился последовательный осмотр слизистой оболочки толстой кишки двумя врачами-эндоскопистами, первый из которых проводил виртуальную хромоскопию, второй использовал окрашивание слизистой оболочки красителем.

Во всех исследованиях анализировалась частота обнаружения гиперпластических изменений слизистой оболочки, воспалительных полипов, спорадических аденом, зубчатых образований и колит-ассоциированной дисплазии. В группе хромоскопии с применением контрастного красителя суммарно было выявлено 460 изменений слизистой оболочки толстой кишки, а в группе виртуальной хромоскопии — 452 изменения.

В трех исследованиях использовался узкий спектр света — режим NBI (narrow band imaging), в одном



Рисунок 1. PRISMA диаграмма поиска статей **Figure 1.** Publications PRISMA screening

Таблица 1. Характеристика исследований, включенных в метаанализ

Table 1. Characteristics of the studies comparing dye-spraing chromoendoscopy and virtual chromoendoscopy for dysplasia detection in patients with UC

| Автор | Набор па- циентов | Год публика- ции | Страна | Характеристика исследования | Использование аппаратов высокой четкости | Узкий спектр света | Применяемый краситель | Количе- ство па- циентов | Количество в группе хромоско- пии с кра- сителем | Количество пациентов в группе виртуальной хромоскопии |
|---------------------------------|----------------------|------------------------|--------------------|--|--|--------------------------|--|--------------------------------|--|---|
| Efthymiou et al. | 2009–2010 | 2013 | Австралия | Перекрестное исследование | Да | NBI | Метиленовый синий 0,1% | 44 | 44 | 44 |
| Pellise et al. | 2006–2007 | 2011 | Испания | Рандомизиро- ванное исследо- вание | Да | NBI | Индигокармин 0,01% | 60 | 27 | 33 |
| Bisshops et al. | 2016–2017 | 2018 | Бельгия, Канада | Рандомизиро- ванное исследо- вание | Да | NBI | Метиленовый синий 0,03% Индигокармин 0,04% | 131 | 66 | 65 |
| González- Bernardo et al. | 2018–2019 | 2021 | Испания | Рандомизиро- ванное исследо- вание | Да | i-scan 1-2 | Индигокармин 0,03% | 129 | 67 | 62 |

Примечание: *NBI (narrow band imagine) — узкий спектр света

исследовании — узкий спектр света i-scan. Для окрашивания слизистой оболочки толстой кишки в двух исследованиях использовался контрастный краситель — индигокармин (0,03% и 0,1%), в двух других использовался абсорбирующий краситель — метиленовый синий (0,1%).

Характеристики исследований, включенных в анализ, представлены в таблице 1. Качество рандомизированных исследований оценивалось в соответствии с Cochrane risk of bias check list [24]. Высокий риск отклонения результатов (более чем в 70% публикаций) определялся по критериям: метод рандомизации, сокрытие распределения, ослепление исполнителей и исследователей. Низкий риск предвзятости оценивался только по двум критериям — по распределению

пациентов и полноте описания результатов исследования (Рис. 2). Качество включенного в метаанализ нерандомизированного перекрестного исследования оценивалось с помощью шкалы Newcastle-Ottawa (NOS) [25]. По результатам проведенной оценки рисков систематических смещений включенное в метанализ нерандомизированное исследование имеет средний риск систематических ошибок — 6 баллов по NOS.

РЕЗУЛЬТАТЫ

При анализе данных в группах хромоскопии с применением красителя и виртуальной хромоскопии

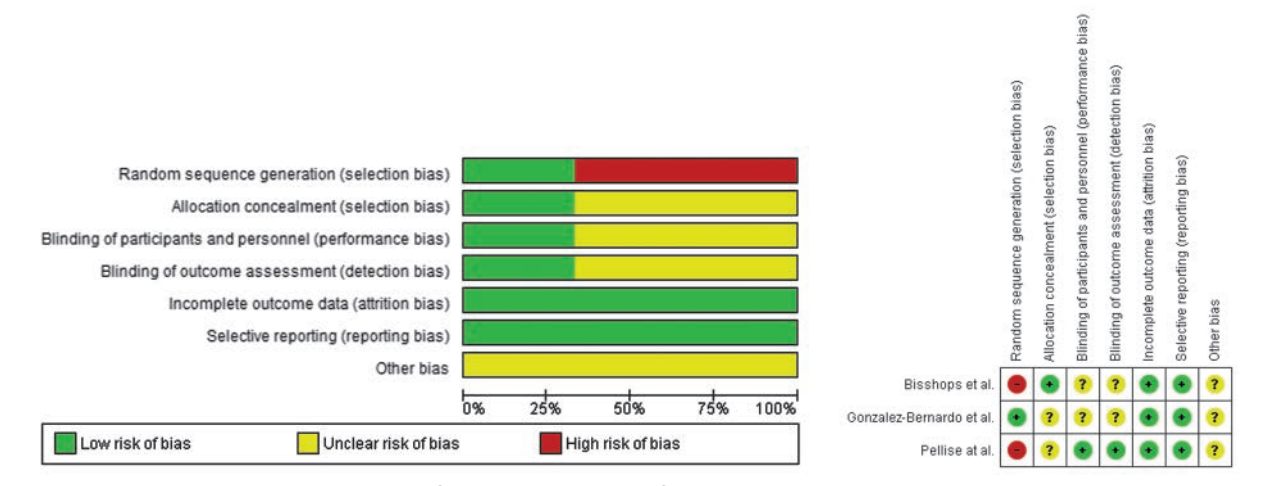


Рисунок 2. Оценка риска смещения в рандомизированных исследованиях, сравнивающих хромоскопию с красителем и виртуальную хромоскопию для выявления дисплазии эпителия толстой кишки у пациентов с ЯК, в соответствии с Cochrane risk of bias check list

Figure 2. A risk of bias assessment in studies comparing dye-spraing chromoendoscopy and virtual chromoendoscopy, according to Cochrane risk of bias checklist

МЕТААНАЛИЗ META-ANALYSIS

не было выявлено статистически значимых различий в распределении пациентов по полу, по частоте встречаемости первичного склерозирующего холангита и по числу пациентов, принимающих препараты 5-аминосалициловой кислоты (Рис. 2,3,5,7). В группе хромоскопии с красителем чаще встречались пациенты с тотальным колитом, также как и пациенты, принимающие иммунодепрессанты (ОШ = 0,55; 95% ДИ 0.35-0.86; p = 0.009 и 0Ш = 0.51; 95% ДИ 0.31-0.84; p = 0.008, соответственно) (Рис. 4,6).

В исследованиях, вошедших в метаанализ, не описывается чувствительность, специфичность и диагностическая точность сравниваемых эндоскопических методик, в связи с чем проанализировать данные показатели не представляется возможным.

В исследуемых группах не было установлено статистически значимых различий ни в частоте встречаемости пациентов с эндоскопически выявленной

колит-ассоциированной дисплазией, ни в частоте встречаемости колит-ассоциированной дисплазии среди общего числа выявленных изменений слизистой оболочки толстой кишки (ОШ = 0,87; 95% ДИ 0.60-1.27; p = 0.47 и $0 \coprod = 0.82$; 95% ДИ 0.58-1.18; p = 0.29) (Puc. 8.9).

ОБСУЖДЕНИЕ

Виртуальная хромоскопия с использованием узкоспектральной визуализации стала альтернативой «традиционной» хромоскопии с использованием красителя для диагностики колит-ассоциированной дисплазии [18,19,22]. Для характеристики степени ее выраженности при проведении хромоскопии с красителем в сочетании с увеличением используется классификация ямочного рисунка Kudo S. [26],

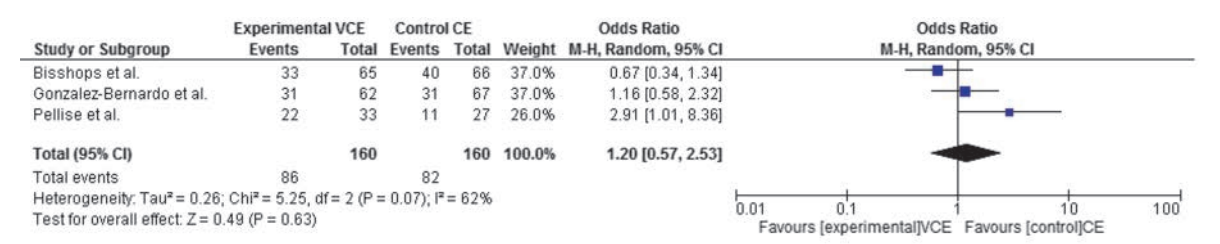


Рисунок 3. Распределение пациентов по полу

Figure 3. Distribution of patients by gender

| | Виртуальная хромо | скопия | Хромоскопия с красителем | | Odds Ratio | | Odds Ratio | |
|----------------------------------|------------------------------|--------|--------------------------|-------|--|--------------------|--------------------|-----|
| Study or Subgroup | Events | Total | Events | Total | Weight | M-H, Fixed, 95% CI | M-H, Fixed, 95% CI | |
| Bisshops et al. | 30 | 65 | 45 | 66 | 48.2% | 0.40 [0.20, 0.81] | | |
| Gonzales-Bernardo et al. | 23 | 62 | 30 | 67 | 36.4% | 0.73 [0.36, 1.47] | - | |
| Pellise et al. | 22 | 33 | 21 | 27 | 15.4% | 0.57 [0.18, 1.82] | - | |
| Total (95% CI) | | 160 | | 160 | 100.0% | 0.55 [0.35, 0.86] | • | |
| Total events | 75 | | 96 | | | | | |
| Heterogeneity: Chi2 = 1.38, | $df = 2 (P = 0.50); I^2 = 0$ | % | | | | <u></u> | 4 24 | 400 |
| Test for overall effect: $Z = 2$ | | | | 0.0 | 1 U.1 1U Виртуальная хромоскопия Хромоскопия с красителем | 100 | | |

Рисунок 4. Распределение пациентов с тотальным поражением толстой кишки **Figure 4.** Distribution of patients with total ulcerative colitis

Odds Ratio Odds Ratio Виртуальная хромоскопия Study or Subgroup Total Total Weight M-H, Fixed, 95% CI M-H, Fixed, 95% CI Events Bisshops et al. 65 66 52.7% 0.86 (0.27, 2.70) Pellise et al. 33 27 16.7% 1.25 (0.19, 8.08) Total (95% CI) 160 160 100.0% 0.91 [0.40, 2.06] 13 Heterogeneity: Chi² = 0.15, df = 2 (P = 0.93): I² = 0% 0.01 0.1 100 Test for overall effect: Z = 0.24 (P = 0.81)

Рисунок 5. Распределение пациентов с первичным склерозирующим холангитом Figure 5. Distribution of patients with primary sclerosing cholangitis

| | Виртуальная хромо | скопия | Хромоскопия с красителем | | Odds Ratio | | Odds Ratio |
|--------------------------------|--------------------------|--------|--------------------------|-------|--|--------------------|--------------------|
| Study or Subgroup | Events Total | | Events | Total | Weight | M-H, Fixed, 95% CI | M-H, Fixed, 95% CI |
| Bisshops et al. | 15 | 65 | 22 | 66 | 37.4% | 0.60 [0.28, 1.30] | |
| Gonzales-Bernardo et al. | 12 | 62 | 23 | 67 | 39.7% | 0.46 [0.20, 1.03] | - |
| Pellise et al. | 11 | 33 | 14 | 27 | 22.9% | 0.46 [0.16, 1.32] | |
| Total (95% CI) | | 160 | | 160 | 100.0% | 0.51 [0.31, 0.84] | • |
| Total events | 38 | | 59 | | | | |
| Heterogeneity: Chi2 = 0.27 | df = 2 (P = 0.88); P = 0 | % | | | | 1 | 0.01 0.1 10 100 |
| Test for overall effect: Z = 2 | | | | | 0.01 0.1 1 10 100 Bиртуальная хромоскопия Хромоскопия с красителем | | |

Рисунок 6. Распределение пациентов, принимающих иммунодепрессанты

Figure 6. Distribution of patients taking immunosuppressants

Хромоскопия с красителем

с помощью которой чувствительность методики составила 93%, а специфичность — 88-93%, что почти приближается к показателям патоморфологического исследования [27,28]. При использовании узкоспектральной визуализации для оценки выявленных изменений слизистой оболочки толстой у пациентов с ЯК возможно применение ряда классификаций, таких как, классификация Sano Y. и классификация JNET [29-31]. В одном из исследований было показано, что чувствительность, специфичность и точность для экспертов в оценке степени колит-ассоциированной дисплазии JNET2a типа составляет 50%, 94,7% и 90,5%, соответственно [31]. Ни в одном исследовании, включенном в метаанализ, несмотря на сравнение двух эндоскопических методик, не было использовано актуальной эндоскопической классификации при проведении виртуальной хромоскопии. В работе Pellise с соавторами, включенной в данный метаанализ, при осмотре в узком спектре света проводилась оценка сосудистого рисунка для дифференцировки выявленных изменений слизистой оболочки толстой кишки на основании двух градаций их выраженности (более выраженный и менее выраженный)

без использования эндоскопической классификации сосудистого рисунка [19]. Очевидно, что оценка данного признака не позволяет определить диагностическую ценность виртуальной хромоскопии в диагностике колит-ассоциированной дисплазии. В связи с чем, авторы также указывают на необходимость проведения дальнейших исследований для оценки применения узкоспектрального режима у пациентов с ЯК.

Учитывая высокую эффективность классификации Kudo S. в дифференциальной диагностике колит-ассоциированной дисплазии при проведении хромоскопии с красителем, были проведены работы с использованием данной классификации, но в сочетании с узким спектром света. В исследовании Efthymiou M. и соавт. были показаны чувствительность, специфичность и диагностическая точность классификации ямочного рисунка по Kudo S. для выявления неоплазий у пациентов с воспалительными заболеваниями кишечника с использованием узкого спектра света (NBI) и цифрового увеличения, которые составили: 42%, 79% и 74%, соответственно [22]. Полученные результаты демонстрируют низкие показатели, что

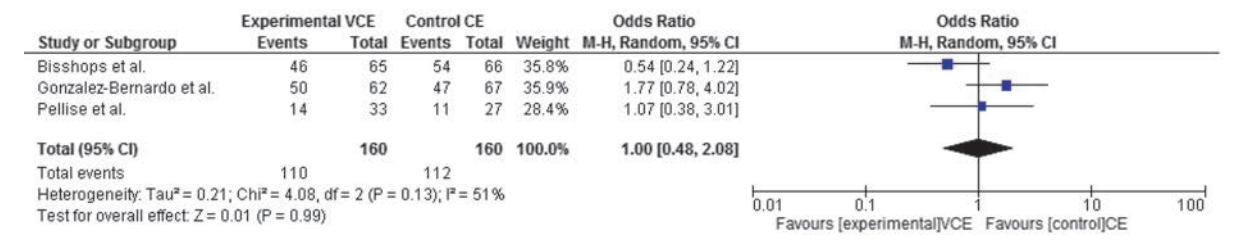


Рисунок 7. Pacnpeделение пациентов, принимающих препараты ацетилсалициловой кислоты **Figure 7.** Distribution of patients taking acetylsalicylic acid preparations

| | Виртуальная хромоскопия | | Хромоскопия с красителем | | Odds Ratio | | Odds | | s Ratio | |
|----------------------------------|--------------------------|-------|--------------------------|--------------|------------|--------------------------------|----------------------------|----------|-------------|-----|
| Study or Subgroup | Events | Total | Events | Events Total | Weight | M-H, Fixed, 95% CI | | M-H, Fix | red, 95% CI | |
| Bisshops et al. | 14 | 65 | 14 | 66 | 32.5% | 1.02 [0.44, 2.35] | | - | • | |
| Efthymiou et al. | 10 | 44 | 11 | 44 | 25.4% | 0.88 [0.33, 2.35] | | 4 | • | |
| Gonzales-Bernardo et al. | 3 | 62 | 7 | 67 | 19.1% | 0.44 [0.11, 1.77] | | - | _ | |
| Pellise et al. | 12 | 33 | 11 | 27 | 23.0% | 0.83 [0.29, 2.36] | | | - | |
| Total (95% CI) | | 204 | | 204 | 100.0% | 0.83 [0.50, 1.37] | | • | | |
| Total events | 39 | | 43 | | | | | | | |
| Heterogeneity: Chi2 = 1.06 | df = 3 (P = 0.79); P = 0 | 1% | | | | | | | 46 | 400 |
| Test for overall effect: $Z = 0$ | | | | | 0.01 | U.1 Виртуальная хромоскопия | т тромоскопия с красителем | 100 | | |

Рисунок 8. Частота встречаемости пациентов с эндоскопически выявленной колит-ассоциированной дисплазией **Figure 8.** The frequency of patients with endoscopically detected colitis-associated dysplasia

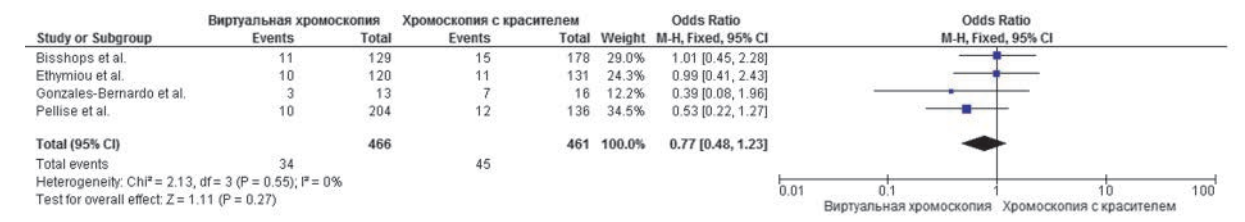


Рисунок 9. Частота встречаемости колит-ассоциированной дисплазии среди общего числа выявленных изменений слизистой оболочки толстой кишки

Figure 9. The frequency of endoscopic diagnosis of colitis-associated dysplasia among the total number of detected colon neoplasms

говорит, скорее всего, о некорректном использовании классификации ямочного рисунка Kudo S. при осмотре в узком спектре света, что требует дальнейшего изучения.

В рамках данного метаанализа было показано отсутствие различий в частоте выявления колит-ассоциированной дисплазии при проведении хромоскопии в сочетании с красителем и виртуальной хромоскопии. Однако, учитывая различные дизайны проведенных исследований, сравнивающих две эндоскопические методики, установить чувствительность, специфичность и точность не представляется возможным.

В связи с этим, существует необходимость проведения исследований для оценки диагностической ценности виртуальной хромоскопии в диагностике колит-ассоцииированной дисплазии. Перекрестное исследование с последовательным осмотром двумя врачами-эндоскопистами слизистой оболочки всех отделов толстой кишки с использованием двух эндоскопических методик, использованием современных эндоскопических классификаций и выполнение прицельной биопсии из выявленных подозрительных участков слизистой оболочки позволит в должной степени провести сравнительный анализ хромоскопии в сочетании с красителем и виртуальной хромоскопии.

ЗАКЛЮЧЕНИЕ

Несмотря на результаты проведенного метаанализа, которые показали, что виртуальная хромоскопия не уступает хромоскопии с применением красителя в частоте эндоскопического выявления колит-ассоциированной дисплазии у пациентов с длительным

анамнезом ЯК, оценить диагностическую информативность этих двух эндоскопических методик не представляется возможным. В связи с чем, существует необходимость в проведении дальнейших исследований, направленных на сравнение хромоскопии в сочетании с красителем и виртуальной хромоскопии.

УЧАСТИЕ АВТОРОВ

Концепция и дизайн исследования: Пономаренко А.А., Архипова О.В., Выкова Б.А.

Сбор и обработка материалов: Архипова О.В., Ликутов А.А.

Написание текста: *Архипова О.В., Пономаренко А.А.* Редактирование: *Пономаренко А.А., Ликутов А.А., Выкова Б.А.*

AUTHORS CONTRIBUTION

Concept and design of the study: Alexey A. Ponomarenko, Olga V. Arkhipova, Bella A. Vykova
Collection and processing of materials: Olga V. Arkhipova, Alexey A. Likutov,
Text writing: Olga V. Arkhipova, Alexey A. Ponomarenko
Editing: Alexey A. Ponomarenko, Alexey A. Likutov,
Bella A. Vykova

СВЕДЕНИЯ ОБ АВТОРАХ (ORCID)

Архипова О.В. — 0000-0002-0544-0027 Ликутов А.А. — 0000-0001-5848-4050 Пономаренко А.А. — 0000-0001-7203-1859 Выкова Б.А. — 0000-0003-1697-4670

INFORMATION ABOUT THE AUTHORS (ORCID)

Olga V. Arkhipova — 0000-0002-0544-0027 Alexey A. Likutov — 0000-0001-5848-4050 Alexey A. Ponomarenko — 0000-0001-7203-1859 Bella A. Vykova — 0000-0003-1697-4670

ЛИТЕРАТУРА/REFERENCES

- 1. Никулина И.В., Златкина А.Р., Белоусова Е.А., и соавт. Оценка клинико-эпидемиологических показателей воспалительных заболеваний кишечника в Московской области. *Российский журнал гастроэнтерологии, гепатологии, колопроктологии.* 1997;2:67—71 / Nikulina I.V., Zlatkina A.R., Belousova E.A., et al. Assessment of clinical and epidemiological indicators of inflammatory bowel diseases in the Moscow region. *Russian Journal of Gastroenterology, Hepatology, Coloproctology.* 1997;2:67—71. (In Russ.).
- 2. Николаева Н.Н., и соавт. Эпидемиология язвенного колита и болезни Крона в Красноярском крае. *Российский журнал гастроэнтерологии, гепатологии, колопроктологии.* 2004;14(5):133 / Nikolaeva N.N., et al. Epidemiology of ulcerative colitis and Crohn's disease in the Krasnoyarsk region. *Russian Journal of Gastroenterology, Hepatology, Coloproctology.* 2004;14(5):133. (In Russ.).
- 3. Rutter MD, Saunders BP, Wilkinson KH, et al. Thirty-year analysis of a colonoscopic surveillance program for neoplasia in ulcerative colitis. *Gastroenterology*.2006;130:1030–1038. doi: 10.1053/j.gas-

tro.2005.12.035

- 4. Eaden JA, Abrams KR, Mayberry JF. The risk of colorectal cancer in ulcerative colitis: a meta-analysis. *Gut* 2001;48:526 535. doi: 10.1136/gut.48.4.526
- 5. Magro F, et al. European consensus on the histopathology of inflammatory bowel disease. *Journal of Crohn's and Colitis*. 2013;7:827–851. doi: 10.1016/j.crohns.2013.06.001
- 6. Lu X, et al. p53 expression in patients with ulcerative colitis associated with dysplasia and carcinoma: a systematic meta-analysis. Gastroenterology. 2017;17:111. doi: 10.1186/s12876-017-0665-y
 7. Шелыгин Ю.А., Ивашкин В.Т., Белоусова Е.А., и соавт. Язвенный колит (К51), взрослые. Колопроктология. 2023;22(1):10-44. doi: 10.33878/2073-7556-2023-22-1-10-44 / Shelygin Y.A., Ivashkin V.T., Belousova E.A., et al. Ulcerative colitis (K51), adults. Koloproktologia. 2023;22(1):10-44. (In Russ.) doi: 10.33878/2073-7556-2023-22-1-10-44
- 8. Rubin DT, Ananthakrishnan AN, Siegel CA, et al. ACG Clinical

Guideline: Ulcerative Colitis in Adults. *Am J Gastroenterol.* 2019 Mar;114(3):384–413. doi: 10.14309/ajg.000000000000152

- 9. Laine L, Kaltenbach T, Barkun A, et al. SCENIC Guideline Development Panel. SCENIC international consensus statement on surveillance and management of dysplasia in inflammatory bowel disease. *Gastroenterology*. 2015;148(3):639–651.e28. doi: 10.1053/j.gastro.2015.01.031
- 10. Maaser C, Sturm A, et al. ECCO-ESGAR Guideline for Diagnostic Assessment in IBD Part 1: Initial diagnosis, monitoring of known IBD, detection of complications. *Journal of Crohn's and Colitis*. 2019;13(2):144–164. doi: 10.1093/ecco-jcc/jjy113
- 11. Bisschops R, East JE, Hassan C, et al. Advanced imaging for detection and differentiation of colorectal neoplasia: European Society of Gastrointestinal Endoscopy (ESGE) Guideline Update 2019. *Endoscopy*. 2019;51(12):1155–1179. doi: 10.1055/a-1031-7657 Epub 2019 Nov 11. Erratum in: Endoscopy. 2019 Dec;51(12):C6. PMID: 31711241.
- 12. Iannone A, Ruospo M, Wong G, et al. Chromoendoscopy for Surveillance in Ulcerative Colitis and Crohn's Disease: A Systematic Review of Randomized Trials. *Clin Gastroenterol Hepatol*. 2017;15(11):1684–1697.e11. doi: 10.1016/j.cgh.2016.11.021
- 13. Marion JF, Waye JD, Present DH, et al. Chromoendoscopytargeted biopsies are superior to standard colonoscopic surveillance for detecting dysplasia in inflammatory bowel disease patients: a prospective endoscopic trial. *Am J Gastroenterol*. 2008;103:2342 2349. doi: 10.1111/j.1572-0241.2008.01934.x
- 14. Marion JF, Waye JD, Israel Y, et al. Chromoendoscopy is more effective than standard colonoscopy in detecting dysplasia during long-term surveillance of patients with colitis. *Clin Gastroenterol Hepatol*. 2016;14:713–719. doi: 10.1016/j.cgh.2015.11.011 Epub 2015 Dec 2.
- 15. Brooker JC, Saunders BP, Shah SG, et al. Total colonic dyespray increases the detection of diminutive adenomas during routine colonoscopy: a randomized controlled trial. *Gastrointest Endosc*.2002;56:333 338. doi: 10.1016/s0016-5107(02)70034-5
- 16. Le Rhun M, Coron E, Parlier D, et al. High resolution colonoscopy with chromoscopy versus standard colonoscopy for the detection of colonic neoplasia: a randomized study. *Clin Gastroenterol Hepatol*. 2006;4:349–354. doi: 10.1016/j.cgh.2005.12.009
- 17. Bisschops R, et al. Pit pattern analysis with high-definition chromoendoscopy and narrow-band imaging for optical diagnosis of dysplasia in patients with ulcerative colitis. *Gastrointestinal Endoscopy*. 2017;86:1100–1106. doi: 10.1016/j.gie.2017.09.024
- 18. Bisschops R, et al. Chromoendoscopy versus narrow band imaging in UC: A prospective randomised controlled trial. *Gut. BMJ Group.* 2018;67(6):1087–1094. doi: 10.1136/gutjnl-2016-313213
- 19. Pellisé M, et al. Narrow-band imaging as an alternative to chromoendoscopy for the detection of dysplasia in long-standing inflam-

- matory bowel disease: a prospective, randomized, crossover study. *Gastrointestinal Endoscopy*. 2011;74(4):840–848. doi: 10.1016/j. qie.2011.05.013
- 20. WHO Classification of Tumours, 5th Edition, Volume 1. WHO Classification of Tumours Editorial Board, 2019. ISBN-13
- 21. González-Bernardo O, Riestra S, Vivas S, et al. Chromoendoscopy With Indigo Carmine vs Virtual Chromoendoscopy (iSCAN 1) for Neoplasia Screening in Patients With Inflammatory Bowel Disease: A Prospective Randomized Study. *Inflamm Bowel Dis.* 2021;27(8):1256–1262. doi: 10.1093/ibd/izaa291
- 22. Efthymiou M, et al. Chromoendoscopy versus narrow band imaging for colonic surveillance in inflammatory bowel disease. *Inflammation Bowel Diseases*. 2013;19(10):2132–2138. doi: 10.1097/MIB.0b013e31829637b9
- 23. Liberati A, Altman DG, Tetzlaff J, et al. The PRISMA statement for reporting systematic reviews and meta-analyses of studies that evaluate healthcare interventions: explanations and elaboration. *BMJ [Internet]*. 2009;339:2700. doi: 10.1136/bmj.b2700
- 24. Higgins JP, Altman DP, Gøtzsche PC, et al. The Cochrane Collaboration's tool for assessing risk of bias in randomised trials. *Br. Med. J.* 2011;343:889–893. doi: 10.1136/bmj.d5928
- 25. Lo CK, Mertz D, Loeb M. Newcastle-Ottawa Scale: comparing reviewers' to authors' assessments. *BMC Med Res Methodol*. 2014;14:45. doi: 10.1186/1471-2288-14-45
- 26. Kudo S, et al. Diagnosis of colorectal tumorous lesions by magnifying endoscopy. *Gastrointestinal Endoscopy*.1996;44:8–14. doi: 10.1016/s0016-5107(96)70222
- 27. Hurlstone DP, Sanders DS, Lobo AJ, et al. Indigo carmine-assisted high magnification chromoscopic colonoscopy for the detection and characterization of intraepithelial neoplasia in ulcerative colitis: a prospective evaluation. *Endoscopy*. 2005;37:1186–1192. doi: 10.1055/s-2005-921032
- 28. Kiesslich R, Fritsch J, Holtmann M, et al. Methylene blue-aided chromoendoscopy for the detection of intraepithelial neoplasia and colon cancer inulcerative colitis. *Gastroenterology*. 2003;124:880 888. doi: 10.1053/gast.2003.50146
- 29. Sano Y, et al. Meshed capillary vessels by use of narrow-band imaging for differential diagnosis of small colorectal polyps. *Gastrointestinal Endoscopy*.2009;69(2):278–283. doi: 10.1016/j. qie.2008.04.066
- 30. Sano Y, Tanaka S, Kudo SE, et al. Narrow-band imaging (NBI) magnifying endoscopic classification of colorectal tumors proposed by the Japan NBI Expert Team. *Dig Endosc.* 2016;28(5):526–533. doi: 10.1111/den.12644 Epub 2016. PMID: 26927367.
- 31. Kawasaki K, Nakamura S, Esaki M, et al. Clinical usefulness of magnifying colonoscopy for the diagnosis of ulcerative colitis-associated neoplasia. *Dig Endosc*.2019;31(1):36–42. doi: 10.1111/den.13382 PMID: 30994234.